

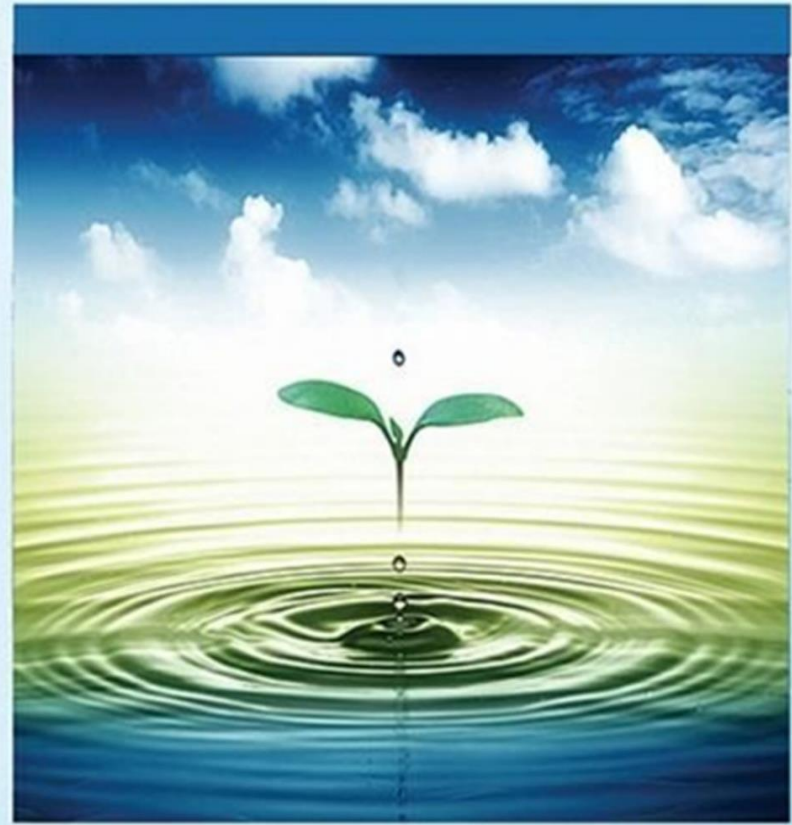
عوامل مؤثر بر ادغام پساب تخلیه شده از تخلیه کننده های چندپورتی

وحید بابایی نژاد و بابک خورسندی

دوره ۷، شماره ۲، تابستان ۱۴۰۰، صفحات ۳۲۷-۳۱۸

Vol. 7(2), Summer 2021, 318-327

DOI: 10.22034/jewe.2020.254408.1449



[www.jewe.ir](http://www.jewe.ir)

OPEN  ACCESS

ارجاع به این مقاله:

بابایی نژاد، و. و خورسندی، ب. (۱۴۰۰). عوامل مؤثر بر ادغام پساب تخلیه شده از تخلیه کننده های چندپورتی. محیط زیست و مهندسی آب، دوره ۷، شماره ۲، صفحات: ۳۱۸-۳۲۷.

Citing this paper :Babaiynejad, V. and Khorsandi, B. (2021), Factors influencing the merging point of effluents discharged from multi-port dischargers. Environ. Water Eng., 7(2), 318–327. DOI: 10.22034/jewe.2020.254408.1449

## مقاله پژوهشی

# عوامل مؤثر بر ادغام پساب تخلیه شده از تخلیه کننده های چندپورتی

وحید بابایی نژاد<sup>۱</sup> و بابک خورسندی<sup>۲\*</sup>

<sup>۱</sup>دانشجوی کارشناسی ارشد، گروه مهندسی آب و محیط زیست، دانشکده مهندسی عمران و محیط زیست، دانشگاه صنعتی امیرکبیر (پلی تکنیک) تهران، ایران

<sup>۲</sup>استادیار، گروه مهندسی آب و محیط زیست، دانشکده مهندسی عمران و محیط زیست، دانشگاه صنعتی امیرکبیر (پلی تکنیک) تهران، ایران

\*نویسنده مسئول: b.khorsandi@aut.ac.ir

تاریخ پذیرش: [۱۳۹۹/۱۰/۰۳]

تاریخ بازنگری: [۱۳۹۹/۰۹/۲۴]

تاریخ دریافت: [۱۳۹۹/۰۸/۰۵]

## چکیده

احداث کارخانه های آب شیرین کن از دهه های گذشته رو به افزایش بوده و پساب تولیدی آنها یکی از عوامل اصلی در تخریب محیط زیست دریایی است. استفاده از تخلیه کننده های چندپورتی یکی از روش های کاهش اثرات محیط زیستی این نوع پساب ها به شمار می آید. ادغام پساب تخلیه شده باعث کاهش میزان رقیق سازی پساب تخلیه شده در محیط آبی می شود. هدف این پژوهش تعیین محدوده ادغام جت ها با استفاده از پارامتر  $L/F.D$  (فاصله افقی تخلیه کننده ها،  $F$  عدد فروود خروجی و  $D$  قطر تخلیه کننده) بود. بدین منظور، با استفاده از مدل انگرالی CorJet به بررسی تأثیر زاویه تخلیه کننده، سرعت و جهت جریان محیط بر ادغام پساب چگال تخلیه شده پرداخته شد. در محیط ساکن ادغام جت ها برای تخلیه پساب با زاویه های تخلیه کننده ۴۵، ۶۰ و ۷۵ درجه نسبت به افق، به ترتیب در  $L/F.D$  کمتر از  $1/53$ ،  $1/87$  و  $1/12$  اتفاق افتاد. همچنین ادغام جت ها در محیط پویا برای تخلیه پساب با زاویه های ۴۵، ۶۰ و ۷۵ درجه، برای جریان هم راستا به ترتیب در  $1/32$ ،  $1/48$  و  $1/59$  و برای  $L/F.D < 1/59$  و برای  $L/F.D < 1/32$ ،  $L/F.D < 1/48$  و  $L/F.D < 1/59$  برای جریان غیر هم راستا در  $1/2$ ،  $1/3$  و  $1/33$  اتفاق افتاد. طبق نتایج، زاویه بین جهت جریان محیط و جهت تخلیه پساب، فاصله افقی بین تخلیه کننده ها و زاویه تخلیه کننده نسبت به افق، مهم ترین عوامل مؤثر بر ادغام پساب چگال تخلیه شده از تخلیه کننده های چندپورتی بود.

واژه های کلیدی: CorJet؛ پلوم؛ پساب؛ جت؛ کارخانه آب شیرین کن

رفتار پساب چگال تخلیه شده به صورت مایل و با زاویه‌های  $30^{\circ}$  و  $45^{\circ}$  و  $60^{\circ}$  در محیط پویا پرداختند. آن‌ها در پژوهش خود تنها به بررسی ترازکتوری جت چگال (حداکثر ارتفاع صعود جت ( $Z_m$ )، فاصله افقی حداکثر ارتفاع از دهانه تخلیه کننده ( $X_m$ ) و فاصله افقی نقطه برخورد پساب به سطح زمین از تخلیه کننده ( $X_i$ ) پرداختند. یافته‌های آنها نشان داد تغییرات لزجت پساب خروجی تأثیر چندانی بر رفتار جت خروجی ندارد و ترازکتوری جت وابسته به عدد فرود جت خروجی است. Shao and Law (2010) به بررسی تخلیه پساب چگال با زاویه  $30^{\circ}$  و  $45^{\circ}$  در مناطق کم عمق دریا پرداختند. آن‌ها در پژوهش خود برای اندازه‌گیری غلظت و میدان سرعت به ترتیب از روش‌های اندازه‌گیری فلورسانس ناشی از لیزر مسطح و پردازش تصویر استفاده کردند. طبق نتایج آنها در تخلیه پساب با زاویه  $30^{\circ}$ , به دلیل نزدیکی دهانه تخلیه کننده به سطح زمین، بستر تأثیر قابل ملاحظه‌ای بر رفتار پساب خواهد داشت. ولی پساب تخلیه شده از تخلیه کننده  $45^{\circ}$  به دلیل فاصله زیاد دهانه تخلیه کننده از سطح زمین، تحت تأثیر بستر قرار نمی‌گیرد.

یکی از مهم‌ترین نکاتی که باید در طراحی تخلیه کننده‌های چندپورتی در محیط پویا موردنظر قرار گیرد، ادغام یا عدم ادغام جت‌ها در طول مسیر حرکت پساب است که بر اختلاط پساب مؤثر است. Abessi and Roberts (2014) مطالعات خود را در ارتباط با ادغام جت‌ها تنها روی تخلیه کننده‌های چندپورتی با زاویه  $60^{\circ}$  انجام دادند و تنها فاصله تخلیه کننده‌ها را عامل ادغام پساب معرفی نمودند و تأثیر زاویه تخلیه کننده نسبت به افق را بر ادغام جت‌ها بررسی نکردند. ایشان محدوده ادغام جت‌ها را با استفاده از پارامتر  $L/F.D$  تنها برای تخلیه پساب با زاویه  $60^{\circ}$  در محیط ساکن انجام دادند و محدوده ادغام جت‌ها ( $L/F.D$ ) در محیط پویا را بررسی نکردند. زاویه بهینه تخلیه پساب چگال، با توجه به شرایط مختلف می‌تواند متغیر باشد (Shao and Law 2010). دینامیک و اختلاط پساب تخلیه شده با زاویه‌های مختلف تخلیه کننده در محیط ساکن و پویا متفاوت می‌باشد. همچنین دیگر پارامتر تأثیرگذار بر ادغام جت‌ها، زاویه بین جهت جریان محیط و جهت پساب تخلیه شده ( $\Phi$ ) است که می‌تواند بین  $0^{\circ}$

## ۱- مقدمه

در دهه‌های گذشته افزایش جمعیت، بالا رفتن سطح رفاه و بهداشت و رشد اقتصادی، باعث افزایش مصرف سرانه آب در بخش‌های مختلف کشاورزی، صنعتی و شهری شده است. به همین دلیل، حجم آب‌های زیرزمینی به سرعت در حال کاهش است. این منابع به تنها پاسخ‌گوی نیازهای بشر امروزی نیست. با توجه به حجم بالای آب‌شور دریاها و اقیانوس‌ها، استفاده از کارخانه‌های آب‌شیرین کن به منظور شیرین کردن آب دریاها و اقیانوس‌ها می‌تواند جایگزین مناسبی برای منابع طبیعی آب شیرین در حال اتمام باشد. کارخانه‌های آب‌شیرین کن علاوه بر تولید آب شیرین، پسابی با غلظت بالا نیز تولید می‌کنند که بهینه‌ترین و کم‌هزینه‌ترین روش برای امحا آن‌ها بازگرداندن مجدد پساب به آب دریا است. غلظت بالای این پساب باعث به هم خوردن تعادل محیط‌زیست در محل تخلیه می‌شود و عموماً در اطراف محل تخلیه به علت غلظت بالای نمک، شرایط ادامه حیات برای هیچ موجود زنده‌ای فراهم نمی‌باشد; Heck et al. 2018; Lykkebo Petersen et al. 2019; Panagopoulos and Haralambous 2020)

با توجه به اینکه تخلیه پساب‌های ناشی از کارخانه‌های آب‌شیرین کن به آب دریاها و اقیانوس‌ها باعث آسیب رساندن به محیط‌زیست و آبزیان می‌شود، پژوهش گران مطالعات زیادی در راستای بهینه‌سازی تخلیه پساب و در نتیجه کاهش اثرات مخرب بر محیط تخلیه انجام داده‌اند. Loya-Fernández et al. (2018) به بررسی استفاده از دیفیوزر در تخلیه پساب شور و اثر آن در میزان رقیق‌سازی پساب شور پرداختند. فرناندر در ابتدا به شبیه‌سازی میزان رقیق‌سازی پساب شور تخلیه شده از یک لوله تخلیه افقی مستغرق پرداخت. سپس شبیه‌سازی را برای یک تخلیه کننده مایل  $60^{\circ}$  درجه که پساب را از طریق دیفیوزر تخلیه می‌کند انجام دادند. طبق نتایج بدست آمده، نصب دیفیوزر به طور قابل توجهی میزان رقیق‌سازی را افزایش می‌دهد و پساب تخلیه شده در فاصله کوتاهی از محل تخلیه با محیط پذیرنده مختلط می‌شود. استفاده از دیفیوزر میزان رقیق‌سازی را در میدان نزدیک و میدان دور به شدت بالا برد بگونه‌ایکه میزان رقیق‌سازی در فاصله یک کیلومتری از محل تخلیه تا ۱۷ برابر افزایش یافت. Cipollina et al. (2005) به بررسی

کف دریا حرکت می‌کند. در این حالت تماس پلوم با سیال محیط پذیرنده باعث کاهش غلظت پساب می‌شود (Bleninger and Jirka 2010). هرچه زاویه تخلیه کننده نسبت به افق بیشتر باشد ارتفاع سقوط پلوم بیشتر می‌شود که این موضوع باعث اختلاط بیشتر پساب با سیال محیط پذیرنده و در نتیجه کاهش غلظت پساب می‌شود (Jiang et al. 2014). طبق رابطه (۱)، میزان رقیق‌شدگی پساب ( $S$ ) (در اثر اختلاط با محیط آبی) در هر نقطه پایین‌دست تخلیه، به صورت نسبت چگالی پساب قبل از تخلیه ( $\rho_0$ ), به چگالی پساب در مکان موردنظر ( $\rho_i$ ) تعریف می‌گردد.

$$S = \frac{\rho_0}{\rho_i} \quad (1)$$

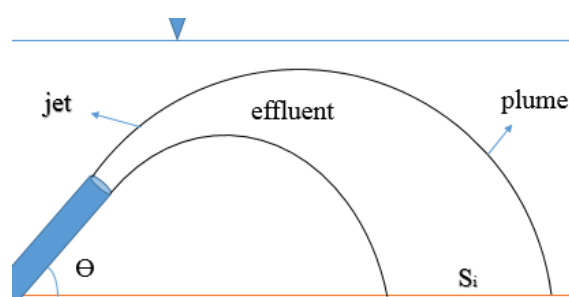
یکی از مهم‌ترین پارامترهای تأثیرگذار بر دینامیک و اختلاط جریان تخلیه شده، عدد فرود ( $F$ ) جریان خروجی است. چنان‌چه  $F > 1$  باشد جریان به صورت جت خواهد بود و اگر  $F < 1$  باشد جریان به صورت پلوم خواهد بود. عدد فرود جریان چگال به صورت رابطه (۲) تعریف می‌شود.

$$F = \frac{U}{\sqrt{Dg'_0}} \quad (2)$$

که،  $U$  سرعت جریان خروجی،  $D$  قطر نازل تخلیه و  $g'$  شتاب گرانش اصلاح شده می‌باشد که به صورت رابطه (۳) تعریف می‌شود.

$$g'_0 = g \frac{(\rho_0 - \rho_a)}{\rho_a} \quad (3)$$

که،  $\rho_a$  چگالی محیط و  $g$  شتاب گرانش می‌باشد.



شکل ۱- شماتیک پساب تخلیه شده به صورت مستقر مایل در حالت جت و پلوم.

Fig. 1 Schematic of submerged discharges of dense effluent in jet and plume mode

(جریان هم راستا) تا  $180^\circ$  (جریان مخالف<sup>۲</sup>) متغیر باشد که این پارامتر نیز در همه جهت‌ها توسط Abessi and Roberts (2017) بررسی نشد. در پژوهش حاضر با استفاده از مدل انتگرالی CorJet به بررسی تأثیر زاویه تخلیه کننده ( $45^\circ$ ،  $60^\circ$  و  $75^\circ$ ) و زاویه بین جهت جریان محیط و جهت تخلیه پساب ( $0^\circ$ ،  $45^\circ$  و  $180^\circ$ ) بر ادغام یا عدم ادغام جت‌های تخلیه شده از تخلیه کننده‌های چندپورتی و در نتیجه میزان رقیق‌سازی در محیط ساکن و پویا پرداخته شد. همچنین مقدار پارامتر L/F.D که محدوده ادغام جت‌ها را مشخص می‌کند برای زاویه‌های مختلف تخلیه کننده ( $45^\circ$ ،  $60^\circ$  و  $75^\circ$ ) در محیط ساکن و پویا مشخص گردید.

## ۲- مواد و روش‌ها

### ۲-۱- آنالیز ابعادی

برای کاهش اثرات محیط‌زیستی پساب کارخانه‌های آب‌شیرین کن، تخلیه پساب باید به گونه‌ای انجام شود که پساب تخلیه شده در فاصله زمانی کوتاهی با سیال محیط پذیرنده مخلوط و بنابراین رقیق شود (Moeini et al. 2013; Khorsandi et al. 2013; Portillo et al. 2012; Del-Pilar-Ruso et al. 2015). برای رسیدن به این اختلاط، استفاده از تخلیه کننده‌هایی که پساب را به صورت جت مستقر تخلیه می‌کنند ضروری است. که این  $S_i$  میزان رقیق‌سازی پساب در نقطه برخورد به زمین و  $\theta$  زاویه تخلیه نسبت به افق می‌باشد، پساب تخلیه شده در دو مرحله با سیال محیط پذیرنده مخلوط می‌شود. در مرحله اول پساب به صورت جت از تخلیه کننده خارج می‌شود. میزان اختلاط پساب با سیال محیط پذیرنده در مرحله اول به عواملی مانند شار مومنتوم، عدد فرود جت خروجی و همچنین زاویه تخلیه کننده نسبت به افق بستگی دارد. جت خروجی باعث هم‌آوری سیال محیط به درون جت می‌شود که این مسئله باعث کاهش غلظت و شار مومنتوم جت خروجی می‌شود. مرحله دوم هنگامی آغاز می‌شود که شار مومنتوم جت کاهش قابل توجهی می‌یابد و در مقایسه با شار شناوری می‌توان از مقدار آن صرف‌نظر نمود. در این حالت پساب از حالت جت به پلوم تبدیل می‌شود. با توجه به اینکه چگالی پساب نسبت به چگالی سیال محیط پذیرنده بیشتر است پساب در حالت پلوم به واسطه شار شناوری به سمت

<sup>2</sup>Counterflow Environment and Water Engineering

Vol. 7, No. 2, 2021

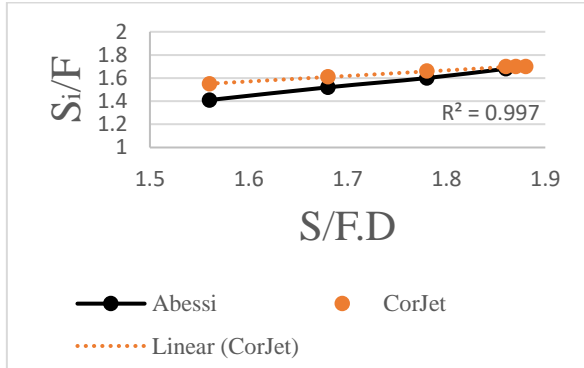
<sup>1</sup>Coflow

محیط‌زیست و مهندسی آب

دوره ۷، شماره ۲، تابستان ۱۴۰۰

مشخص می‌شود. بدین منظور، برای حصول اطمینان از دقت نتایج مدل، نتایج به دست آمده توسط مدل با نتایج مطالعات آزمایشگاهی مقایسه شد.

شکل (۳) مقایسه رقیق‌سازی پساب در نقطه برخورد به زمین ( $S_i$ ) (نرمال شده با عدد فروند) به دست آمده توسط مدل Abessi and Roberts (2014) و مطالعه تجربی CorJet برای L/F.D مختلف، در تخلیه کننده چندپورتی با زاویه تخلیه  $60^\circ$  در محیط ساکن و با عدد فروند  $13/87$  را نشان می‌دهد. مدل CorJet میزان رقیق‌سازی پساب در نقطه برخورد به زمین را در مقایسه با مطالعه آزمایشگاهی با انحرافی در حدود ۵٪ به خوبی پیش‌بینی کرد. طبق نتایج مدل، میزان رقیق‌سازی پساب در نقطه برخورد به زمین برای  $>1/87$  L/F.D مقداری ثابت است که این موضوع نشان می‌دهد برای این مقادیر، فاصله تخلیه کننده‌ها تأثیری در میزان رقیق‌سازی پساب در نقطه برخورد به زمین ندارد؛ بنابراین فاصله جت‌ها به اندازه کافی زیاد است و برای  $>1/87$  L/F.D جت‌ها با هم ادغام نمی‌شوند. طبق نتایج (Abessi and Roberts 2014) جت‌ها در  $<2$  L/F.D با هم ادغام می‌شوند که این مقدار توسط CORJET با انحراف ۶٪، حدود ۱/۸۷ تخمین زده شد.



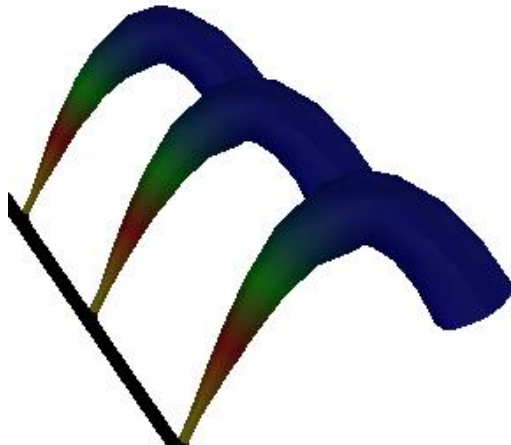
شکل ۳- رقیق‌سازی پساب تخلیه شده (از تخلیه کننده چندپورتی در محیط ساکن) با زاویه  $60^\circ$  در نقطه برخورد به زمین در مقایسه با نتایج (Abessi and Roberts 2014) با نتایج

Fig. 3 Dilution of effluent at the point of impact with the ground, discharged at an angle of  $60^\circ$  (from a multi-port discharger in a quiescent environment), and compared to the results of Abessi and Roberts (2014)

شکل (۴) پارامتر بدون بعد رقیق‌سازی پساب در نقطه برخورد به زمین به دست آمده توسط مدل CorJet و نتایج Abessi به برابر L/F.D مختلف (برای عدد

**CorJet** ۲-۲- مدل

مدل CorJet برای تحلیل و پیش‌بینی تخلیه پساب‌های با شناوری مثبت، خنثی و منفی به محیط آبی تهیه شده است. این مدل به وسیله دانشگاه کرنل آمریکا و آژانس حفاظت محیط‌زیست آمریکا در طول سال‌های ۱۹۸۵-۱۹۹۵ طراحی و توسعه داده شده است و یک مدل تجاری می‌باشد. CorJet یک مدل انتگرالی دقیق و سه‌بعدی و از زیرمجموعه‌های مدل CORMIX است. این مدل بر اساس روش انتگرال اویلری به حل معادلات و پیش‌بینی رقیق‌سازی پساب می‌پردازد. از مهم‌ترین توانایی‌های این مدل می‌توان به در نظر گرفتن تأثیر ادغام جت‌ها در تخلیه کننده‌های چندپورتی (شکل ۲ اشاره کرد (Bleninger and Jirka 2010)). در نظر گرفتن جریان محیط در جهت‌های مختلف نیز از دیگر ویژگی‌های مدل CorJet قابلیت شبیه‌سازی محیط‌های مختلف (Palomar et al. 2012) مدل CorJet توانایی بالایی در شبیه‌سازی پساب چگال Bleninger and Jirka 2010؛ Angelidis et al. 2017 تخلیه شده در محیط ساکن و پویا دارد (). در این پژوهش با توجه به قابلیت این مدل در شبیه‌سازی تخلیه کننده‌های چندپورتی و در نظر گرفتن ادغام جت‌ها در محیط ساکن و پویا، از مدل CorJet استفاده شده است.



شکل ۲- شماتیک تخلیه کننده چندپورتی با ۳ خروجی  
Fig. 2 Schematic of a multi-port discharger with 3 outputs

**صحتسنجی مدل**  
یکی از مهم‌ترین فرآیندها در هر پژوهشی، مقایسه نتایج به دست آمده با نتایج محققین دیگر است. اعتبار و ارزش نتایج به دست آمده هر مدل عددی، با صحتسنجی آن مدل

محیطی صفر و  $۰/۳ \text{ m/s}$  در نظر گرفته شد. همچنین برای بررسی تأثیر زاویه تخلیه کننده بر ادغام پساب تخلیه شده از تخلیه کننده‌های چندپورتی، زاویه تخلیه کننده برای محیط پویا و ساکن،  $۴۵^\circ$ ،  $۶۰^\circ$  و  $۷۵^\circ$  در نظر گرفته شد.

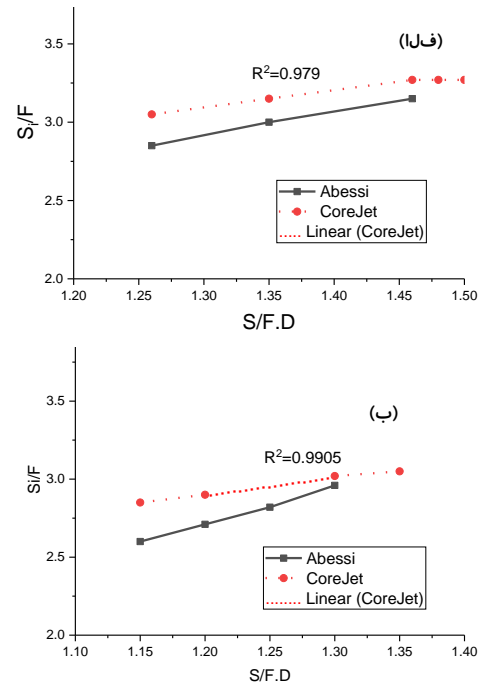
### ۳- یافته‌ها و بحث

در این قسمت به ارائه نتایج مدل CorJet در تخمین تأثیر زاویه تخلیه کننده و جهت جریان محیط بر ادغام و میزان رقیق‌سازی پساب تخلیه شده از تخلیه کننده‌های چندپورتی در نقطه برخورد به زمین پرداخته شد.

#### ۳-۱- محیط ساکن

شکل (۵) مقدار رقیق‌سازی پساب در نقطه برخورد به زمین برای تخلیه پساب چگال با تخلیه کننده چندپورتی (با فاصله‌های مختلف تخلیه کننده‌ها از هم) را در محیط ساکن نشان می‌دهد. زاویه تخلیه کننده‌ها نسبت به سطح افق برابر  $۴۵^\circ$ ،  $۶۰^\circ$  و  $۷۵^\circ$  است. برای تخلیه کننده با زاویه  $۴۵^\circ$ ،  $۶۰^\circ$  و  $۷۵^\circ$ ، میزان رقیق‌سازی پساب به ترتیب برای  $L/F.D$  بزرگ‌تر از  $۱/۵۳$ ،  $۱/۸۷$  و  $۲/۱۲$ ، به مقدار بیشینه خود رسیده و مستقل از فاصله تخلیه کننده‌ها می‌شود که این موضوع نشانگر عدم ادغام جت‌ها در این مقدار است. در زاویه‌های بزرگ‌تر، ادغام به نسبت زودتر جت‌ها (و در نتیجه کاهش رقیق‌سازی) به دلیل افزایش طول مسیر حرکت پساب در حالت پلوم می‌باشد. هرچه زاویه تخلیه کننده  $< ۹۰^\circ$  بیشتر باشد، ارتفاع سقوط پساب در حالت پلوم افزایش می‌یابد که این مسئله باعث بازشدنگی بیشتر پلوم شده (با افزایش ارتفاع سقوط، قطر  $L/F.D$  پلوم افزایش می‌یابد) و بنابراین عدم ادغام پساب‌ها در بزرگ‌تر صورت می‌گیرد؛ اما در صورت کاهش زاویه تخلیه کننده، ارتفاع سقوط پساب در حالت پلوم کم می‌شود و قطر پلوم نسبت به تخلیه پساب با زاویه‌های بزرگ‌تر، در طول مسیر افزایش کمتری خواهد داشت. به همین دلیل هرچه زاویه تخلیه کننده نسبت به افق کاهش می‌یابد عدم ادغام جت‌ها در مقادیر کوچک‌تر  $L/F.D$  اتفاق می‌افتد. در این پژوهش همانند نتایج ارائه شده توسط Abessi and Roberts (2014) میزان رقیق‌سازی با افزایش فاصله تخلیه کننده‌ها از هم به صورت خطی افزایش می‌یابد و می‌توان نتیجه گرفت که با به تأخیر افتادن ادغام جت‌ها میزان رقیق‌سازی افزایش می‌یابد. با توجه به شکل (۵)، رقیق‌سازی پساب برای تخلیه کننده با زاویه  $۶۰^\circ$ ، نسبت به تخلیه کننده با زاویه‌های  $۴۵^\circ$  و  $۷۵^\circ$  مقدار

فروود  $۱۳/۸۷$  و زاویه تخلیه  $۶۰^\circ$  در محیط پویا را مقایسه می‌کند. در این قسمت، جهت جریان محیط به صورت همراستا (شکل (۴-الف)) و مخالف جهت (شکل ۴-ب) پساب خروجی است. همان‌گونه که مشاهده می‌گردد، مدل میزان رقیق‌سازی پساب چگال تخلیه شده در محیط پویا را با انحرافی در حدود  $۶\%$  نسبت به نتایج تجربی، به خوبی پیش‌بینی کرد.



شکل ۴- مقایسه نتایج رقیق‌سازی پساب چگال تخلیه شده در محیط پویا با زاویه  $۶۰^\circ$  مدل CorJet با مطالعه Abessi and Roberts (2017). a)  $\phi = 0^\circ$  و b)  $\phi = 180^\circ$ .

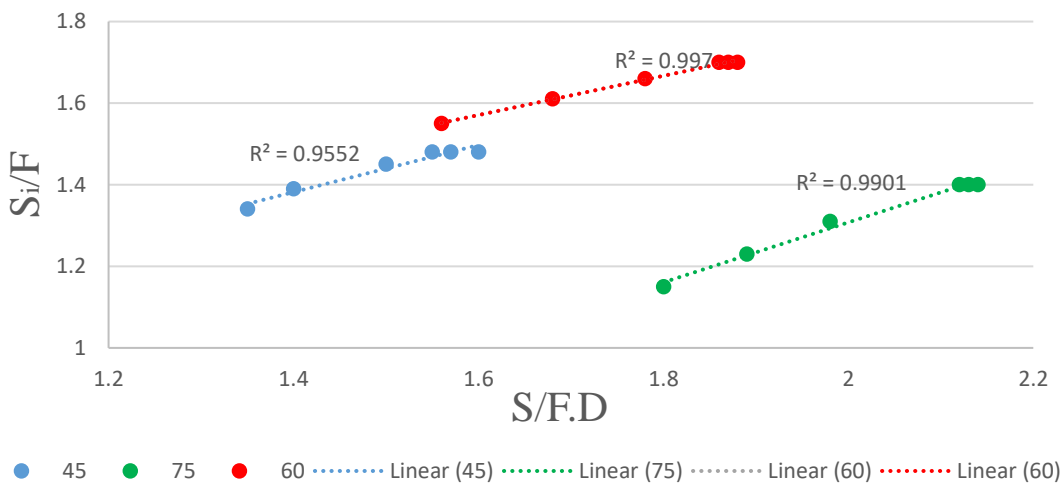
Fig. 4 Comparison of the dilution (at the point of impact with the ground) of dense effluent discharged in a dynamic environment with a  $60^\circ$  computed by the CorJet model with the experimental study of Abessi and Roberts (2017). a)  $\phi = 0^\circ$  and b)  $\phi = 180^\circ$

#### ۴-۲- مدل‌سازی

در این پژوهش با استفاده از مدل انتگرالی CorJet به بررسی تأثیر زاویه تخلیه کننده (در محیط‌های ساکن و پویا) و جهت جریان محیط بر ادغام و اختلاط جت‌های چگال تخلیه شده از تخلیه کننده‌های چندپورتی، با  $۳\text{ خروجی به قطر } ۰/۲ \text{ m}$  عدد فروود خروجی  $۱۳/۸۷$  پرداخته شد. برای شبیه‌سازی تخلیه پساب در محیط پویا، زاویه بین جهت جریان محیط و جهت تخلیه پساب برابر صفر،  $۴۵^\circ$ ،  $۶۰^\circ$  و  $۷۵^\circ$  در نظر گرفته شد. برای این منظور یک محیط فرضی نامحدود (که جت خروجی با سطح آب یا دیواره برخورد نداشته باشد)، با سرعت

Papakonstantis and 2018 در محیط ساکن می‌باشد (Papakonstantis and Tsatsara 2019;).

بیشتری را دارد که این مسئله همانند تخلیه کننده‌های تکپورتی به دلیل افزایش طول مسیر حرکت پساب در تخلیه پساب با زاویه  $60^\circ$  نسبت به تخلیه پساب با زاویه‌های  $45^\circ$  و



شکل ۵- میزان رقیق‌سازی پساب چگال تخلیه شده از تخلیه کننده چندپورتی در نقطه برخورد به زمین

Fig. 5 Dilution of dense effluent discharged from a multi-port discharge at the point of impact with the ground

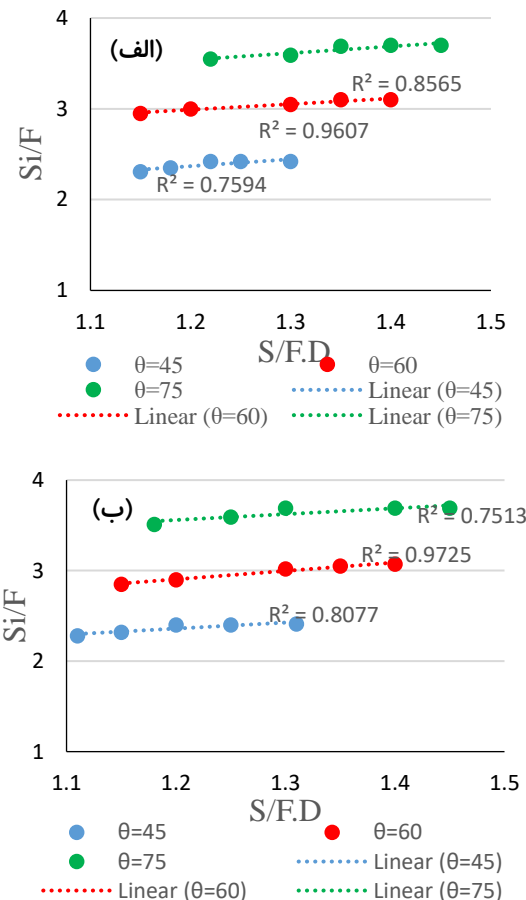
می‌یابد؛ اما در محیط پویا، جریان محیط اطراف پساب خروجی را احاطه می‌کند و نیروی وارده از طرف جریان محیط باعث می‌شود که قطر پساب در محیط پویا نسبت به محیط ساکن کمتر افزایش یابد؛ اما دلیل دیگری که باعث کاهش مقدار پارامتر  $L/F.D$  برای ادغام جت‌ها در محیط پویا می‌شود کاهش ارتفاع سقوط پلوم است. در محیط پویا، جریان محیط باعث کاهش ارتفاع سقوط پلوم است. در محیط پویا نسبت به محیط ساکن می‌شود. هرچه طول مسیر حرکت پساب (جت و پلوم) در محیط آبی افزایش یابد هماوری سیال محیط به درون جت و قطر پساب افزایش می‌یابند و در نتیجه احتمال ادغام پساب‌های تخلیه شده بیشتر می‌شود. برای حالت  $\Phi = 45^\circ$  ادغام جت‌ها برای زاویه‌های  $45^\circ$ ،  $60^\circ$  و  $75^\circ$  به ترتیب برای  $L/F.D < 1/49$ ،  $L/F.D < 1/41$  و  $L/F.D < 1/29$  مقدار می‌افتد. در صورت افزایش زاویه بین جهت جریان محیط و جهت تخلیه پساب، جت‌ها در  $L/F.D$  کوچک‌تری با هم ادغام می‌شوند که این موضوع به دلیل نیروی وارده از طرف جریان محیط به بدنه جت می‌باشد که باعث کاهش ارتفاع صعود ماکزیمم جت و درنتیجه کاهش ارتفاع سقوط پلوم می‌شود (Abessi and Roberts 2017). طبق نتایج، در محیط پویا هرچه زاویه تخلیه پساب افزایش می‌یابد میزان

## ۲-۳- محیط پویا

۲-۳-۱- تخلیه پساب در محیط پویا با  $0^\circ = \Phi$  (جریان همراستا) و  $45^\circ$

شکل (۶) میزان رقیق‌سازی پساب در نقطه برخورد به زمین برای فاصله‌های مختلف تخلیه کننده‌ها در محیط پویا را نشان می‌دهد. در این قسمت زاویه بین جهت جریان محیط و جهت پساب خروجی  $\Phi$  (همراستا با جهت پساب خروجی) (شکل ۶-الف) و  $45^\circ$  (شکل ۶-ب) است. با توجه به شکل (۶)، میزان رقیق‌سازی با افزایش فاصله تخلیه کننده‌ها از هم افزایش می‌یابد که این موضوع به علت افزایش فاصله افقی تخلیه کننده‌ها و در نتیجه به تأخیر افتادن ادغام جت‌ها می‌باشد (Abessi and Roberts 2017). با توجه به نتایج، برای این مقدار از سرعت محیط ( $U_a = 0.3 \text{ m/s}$ ) در حالت جریان همراستا، ادغام جت‌ها برای تخلیه پساب با زاویه‌های  $45^\circ$ ،  $60^\circ$  و  $75^\circ$  به ترتیب برای  $L/F.D < 1/32$ ،  $L/F.D < 1/48$  و  $L/F.D < 1/59$  صورت می‌گیرد. پساب تخلیه شده در محیط ساکن (در شرایط تخلیه یکسان)، در مقدار  $L/F.D$  کوچک‌تری (فاصله تخلیه کننده‌های کمتر) با هم ادغام می‌شوند. این موضوع به دو دلیل اتفاق می‌افتد اول این که قطر پساب تخلیه شده، با حرکت در محیط آبی و هماوری سیال محیط به درون خود افزایش

پساب خروجی ۱۳۵ (شکل ۷-الف) و ۱۸۰° (جريان خلاف جهت) (شکل ۷-ب) است. در این حالت، همانند حالت جريان هم راستا با افزایش فاصله تخلیه کننده‌ها از هم میزان رقیق‌سازی پساب در نقطه برخورد به زمین با نرخ کمی افزایش می‌یابد (Abessi and Roberts 2017).

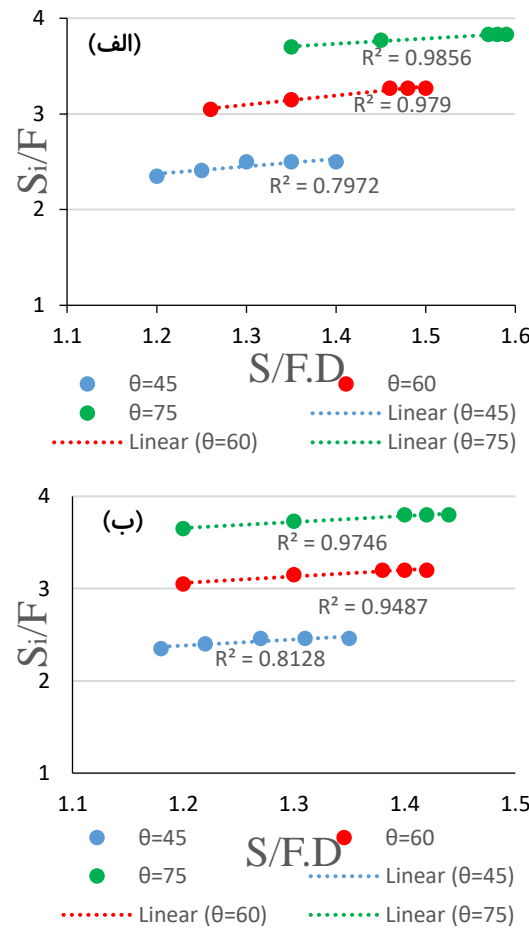


شکل ۷- میزان رقیق‌سازی پساب تخلیه‌شده از تخلیه کننده چندپورتی در نقطه برخورد به زمین در محیط پویا. (الف)  $\phi = 135^\circ$ . (ب)  $\phi = 180^\circ$

Fig. 7 Dilution of effluent discharged from a multi-port discharger at the point of impact to the ground in a dynamic environment. A)  $\phi = 135^\circ$ . B)  $\phi = 180^\circ$

میزان رقیق‌سازی پساب در حالت  $\phi = 135^\circ$  برای تخلیه پساب با زاویه‌های ۴۵، ۶۰ و ۷۵° به ترتیب برای مقادیر L/F.D. بزرگ‌تر از  $1/22$ ،  $1/32$  و  $1/35$  مقداری ثابت دارد. میزان رقیق‌سازی در شرایط مشابه برای حالت  $\phi = 180^\circ$  با مقدار ناچیزی کاهش نسبت به حالت  $\phi = 135^\circ$ ، برای تخلیه کننده با زاویه ۴۵، ۶۰ و ۷۵° به ترتیب برای مقادیر L/F.D. بزرگ‌تر از  $1/2$ ،  $1/3$  و  $1/33$  مقداری ثابت دارد. ثابت شدن

رقیق‌سازی نیز افزایش می‌یابد. با افزایش زاویه تخلیه پساب، ارتفاع سقوط پساب (پلوم) بیشتر شده و پساب بیشتر تحت تأثیر جريان محیط قرار می‌گیرد. در این حالت مقدار مسافتی که پساب توسط جريان محیط حمل می‌شود افزایش یافته و در نتیجه میزان رقیق‌سازی نیز افزایش می‌یابد (Abessi and Roberts 2016).



شکل ۶- میزان رقیق‌سازی پساب تخلیه‌شده از تخلیه کننده چندپورتی در نقطه برخورد به زمین در محیط پویا. (الف)  $\phi = 0^\circ$  و (ب)  $\phi = 45^\circ$

Fig. 6 Dilution of effluent discharged from a multi-port discharger at the point of impact to the ground in a dynamic environment. a)  $\phi = 0^\circ$  and b)  $\phi = 45^\circ$

شکل (۷) میزان رقیق‌سازی پساب در نقطه برخورد به زمین را، برای تخلیه پساب چگال از تخلیه کننده چندپورتی در محیط پویا، با فاصله‌های مختلف تخلیه کننده‌ها از هم را نشان می‌دهد. در این قسمت زاویه بین جهت جريان محیط و جهت

در  $L/F.D$  بزرگ‌تر از  $1/53$ ،  $1/87$  و  $2/12$  به صورت جت مستقل عمل کرده و پساب خروجی با هم ادغام نمی‌شوند.

۳- طبق نتایج، ادغام جت‌ها در محیط پویا نسبت به محیط ساکن (با  $L/F.D$  یکسان)، برای فاصله تخلیه کننده‌های کمتر اتفاق می‌افتد به گونه‌ای که در محیط پویا با  $\Phi = 0^\circ$ ، ادغام پساب تخلیه شده با زاویه‌های  $45^\circ$ ،  $60^\circ$  و  $75^\circ$ ، به ترتیب در  $L/F.D < 1/48$ ،  $L/F.D < 1/42$  و  $L/F.D < 1/59$  اتفاق می‌افتد.

۴- در محیط پویا با  $\Phi = 180^\circ$ ، مرز ادغام ( $L/F.D$ ) پساب تخلیه شده با زاویه‌های  $45^\circ$ ،  $60^\circ$  و  $75^\circ$ ، به ترتیب برابر  $1/2$ ،  $1/3$  و  $1/33$  است؛ بنابراین می‌توان نتیجه گرفت هرچه زاویه بین جهت تخلیه پساب و جهت جریان محیط بیشتر شود  $\Phi < 180^\circ$ ، پارامتر  $L/F.D$  برای ادغام جت‌ها کاهش می‌یابد.

### سپاسگزاری

نویسنده‌گان از نظرات داوران محترم سپاسگزاری می‌نمایند.

### دسترسی به داده‌ها

داده‌های استفاده شده (با تولید شده) در این پژوهش در متن مقاله ارائه شده است.

## References

- Abessi, O. and Roberts P. J. (2014). Multiport diffusers for dense discharges. *J. Hydraul. Eng.*, 140(8), 04014032.
- Abessi, O. and Roberts, P. J. (2016). Dense jet discharges in shallow water. *J. Hydraul. Eng.*, 142(1), 04015033.
- Abessi, O. and Roberts P. J. (2017). Multiport diffusers for dense discharge in flowing ambient water. *J. Hydraul. Eng.*, 143(6), 04017003.
- Angelidis, P., Kalpakis, D., Gyrikis, V. and Kotsovinos, N. (2017). 2D brine sewage after impinging on a shallow sea free surface. *Environ. Fluid Mech.*, 17(3), 615–28.
- Bleninger, T. and Jirka, G. H. (2010). Environmental planning, prediction and management of brine discharges from desalination plants. Institute for Hydromechanics, Univ. Karlsruhe, Karlsruhe, Germany.
- Cipollina, A., Brucato A., Grisafi, F. and Nicosia, S. (2005). Bench-scale investigation of inclined dense jets. *J. Hydraul. Eng.*, 131(11), 1017–1022.
- Del-Pilar-Ruso, Y., Martinez-Garcia, E., Giménez-Casalduero, F., Loya-Fernández, A., Ferrero-Vicente, L. M., Marco-Méndez, C., Sánchez-Lizaso, J. L. (2015). Benthic community recovery from brine impact after the implementation of mitigation measures. *Water Res.*, 70, 325–336.
- Heck, N., Lykkebo Petersen, K., Potts, D. C., Haddad, B. and Paytan, A. (2018). Predictors of coastal stakeholders' knowledge about seawater desalination impacts on marine ecosystems. *Sci. Tot. Environ.*, 639, 785–792.

- Jiang, B., Law, A. W. K. and Lee, J. H. W. (2014). Mixing of 30 and 45 inclined dense jets in shallow coastal waters. *J. Hydraul. Eng.*, 140(3), 241-253.
- Khorsandi, B., Gaskin, S., and Mydlarski, L. (2013). Effect of background turbulence on an axisymmetric turbulent jet. *J. Fluid Mech.*, 736, 250-286.
- Loya-Fernández, Á., Ferrero-Vicente, L. M., Marco-Méndez, C., Martínez-García, E., Zubcoff, J., & Sánchez-Lizaso, J. L. (2012). Comparing four mixing zone models with brine discharge measurements from a reverse osmosis desalination plant in Spain. *Desalination*, 286, 217-224.
- Loya-Fernández, Á., Ferrero-Vicente, L. M., Marco-Méndez, C., Martínez-García, E., Vallejo, J. J. Z., & Sánchez-Lizaso, J. L. (2018). Quantifying the efficiency of a mono-port diffuser in the dispersion of brine discharges. *Desalination*, 431, 27-34.
- Lykkebo Petersen, K., Heck, N., Reguero, B. G., Potts, D., Hovagimian, A., and Paytan, A. (2019) Biological and Physical Effects of Brine Discharge from the Carlsbad Desalination Plant and Implications for Future Desalination Plant Constructions. *Water*, 11(2), 208.
- Moeini, M., Khorsandi, B. and Mydlarski, L. (2021). Effect of coflow turbulence on the dynamics and mixing of a non-buoyant turbulent jet. *J. Hydraul. Eng.*, 147(1), 04020088.
- Palomar, P., Lara, J. L., Losada, I. J., Rodrigo, M. and Alvarez, A. (2012). Near field brine discharge modelling part 1: Analysis of commercial tools. *Desal.*, 290, 14-27.
- Papakonstantis, I. G., & Tsatsara, E. I. (2018). Trajectory characteristics of inclined turbulent dense jets. *Environmental Processes*, 5(3), 539-554.
- Papakonstantis, I. G., & Tsatsara, E. I. (2019). Mixing characteristics of inclined turbulent dense jets. *Environmental Processes*, 6(2), 525-541.
- Panagopoulos, A. and Haralambous, K. J. (2020). Environmental impacts of desalination and brine treatment - Challenges and mitigation measures. *Marine Pollut. Bull.*, 161B, 111773.
- Portillo, E., Louzara, G., Ruiz de la Rosa, M., Quesada, J., Gonzalez, J. C., Roque, F. and Mendoza, H. (2012). Venturi diffusers as enhancing devices for the dilution process in desalination plant brine discharges. *Desal. Water Treat.*, 51 (1-3), 525-542.
- Shao, D. and Law, A. W. K. (2010). Mixing and boundary interactions of 30 and 45 inclined dense jets. *Environ. Fluid Mech.*, 10(5), 521-553.

## Research Paper

# Factors Influencing the Merging Point of Effluents Discharged from Multi-Port Dischargers

**Vahid Babaiynejad<sup>1</sup> and Babak Khorsandi<sup>2\*</sup>**

<sup>1</sup>M.Sc. Student, Department of Water and Environmental Engineering, Faculty of Civil and Environmental Engineering, Amirkabir University of Technology (Tehran Polytechnic), Tehran, Iran

<sup>2</sup>Assist. Professor, Department of Water and Environmental Engineering, Faculty of Civil and Environmental Engineering, Amirkabir University of Technology (Tehran Polytechnic), Tehran, Iran

\*Corresponding author: b.khorsandi@aut.ac.ir

**Received:** October 26, 2020

**Revised:** December 14, 2020

**Accepted:** December 23, 2020

### **Abstract**

The construction of desalination plants has been increasing over the past decades and their brine discharge negatively impact the marine environment. The use of multi-port dischargers results in higher initial dilution and reduces the environmental impact of this type of effluent. Merging of the discharged effluents from multi-port dischargers reduces the dilution rate of the effluents in the aqueous environment. The aim of this study was to determine the location of jet merging as a function of the L/F.D parameter (L is the horizontal distance between discharger ports, F is the Froude number at the outlet, and D is the diameter of discharger ports). Using the CorJet integral model, the effect of discharge angle, and velocity and direction of ambient flow on merging of discharged dense effluents was investigated. In quiescent environments, merging of jets with discharge angles of 45, 60 and 75° with respect to the horizon occurred at L/F.D less than 1.53, 1.87 and 2.12, respectively. Furthermore, in dynamic environments, merging of jets for discharge angles of 45, 60 and 75°, occurred at L/F.D<1.32, L/F.D<1.48 and L/F.D<1.59, respectively, for the releases in coflows, and at L/F.D<1.2, L/F.D<1.3 and L/F.D<1.33, respectively, for the discharges in counterflows. According to the results, the angle between the direction of ambient flow and the direction of effluent discharge, the horizontal distance between dischargers, and the discharge angle with respect to the horizon were the most important factors affecting the merging location of dense effluent discharged from multi-port dischargers.

**Keywords:** CorJet; Desalination Plant; Effluent; Jet; Plume.